

# 유한체 $F_{p^k}$ 에서 효율적으로 제곱근을 구하는 알고리즘들\*

한 동국<sup>1\*</sup>, 최 두 호<sup>1</sup>, 김 호 원<sup>2</sup>, 임 종 인<sup>3</sup>

<sup>1</sup>한국전자통신연구원, <sup>2</sup>부산대학교, <sup>3</sup>고려대학교

## Efficient Computation of Square Roots in Finite Fields $F_{p^k}$ \*

Dong-Guk Han<sup>1\*</sup>, Doo Ho Choi<sup>1</sup>, Howon Kim<sup>2</sup>, Jongin Lim<sup>3</sup>

<sup>1</sup>ETRI, <sup>2</sup>Pusan National University, <sup>3</sup>Korea University

### 요 약

본 논문에서는 확장체  $F_{p^k}$ ( $k$  홀수)에서 효율적으로 제곱근을 구하는 방법을 제안한다. 제곱근을 구하는 알고리즘은 표수  $p$ 의 조건에 따라서 여러 가지 방법들이 제안되었다. 특히, 알고리즘을 구성하는 중심 되는 연산 중의 하나가 지수승 연산이다. 본 연구에서는 기존의 제곱근을 구하는 알고리즘에 사용되는 지수승의 지수들이 표수  $p$ 을 활용한  $p$ -진법으로 표현할 경우, 특별한 형태의 주기성을 가지는 표현으로 나타내어짐을 증명하고, 이것을 활용해 기존의 알고리즘들을 효율적으로 개선하는 방법을 제안한다. 본 논문에서 제안한 방법은 표수  $p$ 의 조건에 의존하지 않고, 지수승 기반의 기존의 모든 제곱근 알고리즘에 적용 가능하다는 장점을 가지고 있다. 지금까지 알려진 바로는, 본 논문이 처음으로 Tonelli-Shanks 알고리즘을 효율적으로 개선하였으며,  $p \equiv 1 \pmod{16}$ 인 경우 60% 이상의 효율성 증대가 있었다. 다른 제곱근 알고리즘에 적용한 결과들도 비교표들을 이용해 언급되어 있으며, 기존의 방법들에 비해 상당히 효율적임을 나타내고 있다.

### ABSTRACT

In this paper we study exponentiation in finite fields  $F_{p^k}$ ( $k$  is odd) with very special exponents such as they occur in algorithms for computing square roots. Our algorithmic approach improves the corresponding exponentiation independent of the characteristic of  $F_{p^k}$ . To the best of our knowledge, it is the first major improvement to the Tonelli-Shanks algorithm, for example, the number of multiplications can be reduced to at least 60% on average when  $p \equiv 1 \pmod{16}$ . Several numerical examples are given that show the speed-up of the proposed methods.

**Keywords** : square roots, finite fields, Tonelli-Shanks algorithm

### I. 서 론

확장체  $F_q$ ( $q=p^k$ , 소수  $p$ , 그리고 홀수  $k$ )에서 제곱근

을 구하는 문제는 계산 정수론과 같은 학문에서 고전적인 연구 주제 중에 하나이다. 제곱근을 구하는 알고리즘은 암호시스템을 구성하는 요소로도 활용되어지며, 예를 들어, 타원곡선 암호시스템의 경우 좌표 표현을 효율적으로 하는데 활용되어진다. 3차 다항식  $f(x)$ 에 대한 확장체  $F_q$  위에서의 타원곡선 방정식  $E: y^2 = f(x)$ 의 원소는 일반적으로  $(a, b)$ 와 같이 2개의  $F_q$  원소로 표현

접수일: 2008년 3월 4일; 채택일: 2008년 6월 30일

\* "본 연구는 지식경제부 및 정보통신연구진흥원의 IT핵심기술개발사업[2005-S-088-04, 안전한 RFID/USN 을 위한 정보보호 기술] 사업의 일환으로 수행하였음

† 주저자, 교신저자 christa@korea.ac.kr

되어진다. 하지만,  $(a, b)$  좌표 표현은  $a$ 와 한 비트 추가 정보만을 가지고도 표현 되어질 수 있다. 여기서 한 비트 추가 정보는 예를 들어,  $b$ 가  $x$  좌표 위의 값이면 1 아래 값이면 0을 의미한다.  $y$  좌표값  $b$ 는  $y^2 = f(a)$ 의 근 중에서 한 비트 정도를 이용해 쉽게 결정이 가능하다. 즉,  $2\log_2(q)$  비트로 표현되어지던 타원곡선위의 좌표를  $\log_2(q)+1$  만으로 표현이 가능하다.

표수  $p$ 의 조건에 따라서 제곱근을 구하는 방법은 여러 가지로 구분된다.  $p \equiv 3 \pmod{4}$ 인 경우 완전제곱수  $a \in F_q$ 의 제곱근  $x$ 는 한 번의 지수승  $x = a^{(q+1)/4}$ 으로 계산되어 진다( $k$ 가 홀수인 경우,  $q = p^k \equiv 3 \pmod{4}$ )를 만족한다).

유사하게,  $q \equiv 5 \pmod{8}$ 의 경우에서도 한 번의 지수승 연산이면 제곱근을 구할 수 있다[1]. 앞의 두 경우와는 반대로,  $q \equiv 1 \pmod{8}$ 의 경우에는 제곱근을 구하는 알고리즘이 좀 더 복잡해 진다. 이 경우, 가장 효율적으로 제곱근을 구하는 방법은 Tonelli-Shanks[13] 또는 Cipolla-Lehmer[4] 알고리즘에 기반한 것들이다.

제곱근을 구하는 알고리즘을 효율적으로 개선하기 위해, 제곱근을 구하는 알고리즘의 핵심 연산인 지수승의 지수의 새로운 표현법에 대한 연구가 최근 이루어지고 있다. Crypto 2002에서 Barreto 등은 확장체  $F_{p^k}$  (소수  $p$ , 홀수  $k$ )에서  $p \equiv 3 \pmod{4}$  또는  $p \equiv 5 \pmod{8}$ 의 경우 제곱근 계산에 필요한 지수승의 지수의 표현법을 새롭게 함으로  $F_p$ 에서의 계산 복잡도를  $O(k^3 \log_2 p)$ 에서  $O(k^2(\log_2 k + \log_2 p))$ 으로 감소시켰다 [2]. 최근들어, [7]에서 Kong 등은  $p \equiv 9 \pmod{16}$ 의 조건에 활용되어지는 제곱근 알고리즘의 내부 지수승의 지수에 대해 주기성을 가지는 새로운 표현법을 활용하여 기존 방법보다 월등히 효율적인 제곱근 구하는 알고리즘을 제안하였다. 기존 알고리즘의  $F_p$ 에서의 계산 복잡도가  $O(k^3 \log_2 p)$ 인데 반해 새로운 알고리즘의 것은  $O(k^2(\log_2 k + \log_2 p))$ 이다. 이와 같은 특별한 지수들에 대한 새로운 표현법으로부터 도출된 효율성의 개선은 Itoh-Tsujii 알고리즘에 활용된 divide-and-conquer 기법 [5]과 정규기저의 특성에서 기인한 것이다. 유한체  $F_p$ 를 구성하는 조건을 활용해 효율적으로 제곱근을 구하는 방법들이 제안되기도 하였다[14,15].

본 논문에서는 확장체  $F_{p^k}$ 에서 제곱근을 구하는 알고리즘들의 핵심 요소 중의 하나인 지수승들을 효율적

으로 계산하는 방법을 연구한다. 우리가 살펴보게 될 제곱근을 구하는 알고리즘들의 지수승들은,  $\alpha, \beta \in \mathbb{Z}$ 에 대해,  $(p^k - \alpha)/\beta$  같은 형태의 지수승을 가지고 있다.

본 논문의 첫번째 기여도는, 지수  $(p^k - \alpha)/\beta$ 을 표수  $p$ 에 대해 주기성을 가지는  $A + B \cdot \sum_{i=0}^{(-1)} (p^w)^i$  같은 표현법을 제안한 것이다(Proposition 1 참조). 기존에 제안된 방법들과의 차이점은, 기존 방법들은 고정된  $\alpha, \beta$ 의 값에 의존한 표현법을 제안한 반면, 본 논문은 범용적으로 활용 가능한 형태로 제안함으로 표수  $p$ 의 조건에 의존하지 않고 일반적으로 모든 표수  $p$ 에 적용 가능하다는 것이다. 이렇게 표현된 지수를 이용해 밑  $x$ 에 대한 지수승을 할 경우,  $x^A \cdot (x^B)^{\sum_{i=0}^{(-1)} (p^w)^i}$  과 같이 계산을 하게 된다.

본 논문의 두번째 기여도는, 동일한 밑  $x$ 에 대해 두 번의 지수승  $x^A$ 과  $x^B$ 을 하게 되는데, 지수  $B$ 가 지수  $A$ 와 표수  $p$ 을 이용해 표현되어짐을 보이고, 두 번의 지수승을 중복되는 연산을 제거하여 효율적으로 계산하는 방법을 제안한 것이다.

지수의 표현법을 새롭게 하고, 중복되는 연산을 제거하는 이와 같은 방법들은 앞에서 언급했듯이, 표수  $p$ 에 의존하지 않고 모든 제곱근을 구하는 방법에 적용가능하다(제곱근을 구하는 방법중의 하나인 Cipolla-Lehmer 알고리즘은 Lucas 수열을 기반한 방법으로, 최근 Muller는 Lucas 수열을 효율적으로 계산하는 방법을 통해 Cipolla-Lehmer 알고리즘의 계산 복잡도를 개선하였다 [9]). 지금까지 우리가 알고 있는 바로는, Tonelli-Shanks 알고리즘을 효율적으로 개선한 결과는 본 논문이 처음이며, 표수가  $p \equiv 1 \pmod{16}$ 의 경우 최소 60% 이상의 효율성 개선이 있었다. 뿐만 아니라, 기존에 제안된 새로운 지수 표현법에 기반한 고속 제곱근 알고리즘들 [2,7] 과의 비교에서도 상당한 효율성 개선이 있었다(확장체  $F_{p^k}$ 의 사이즈에 따른 비교 결과 [표 5, 6, 7] 참조). 예를 들어, 홀수  $k$ 의 범위를 3에서 15까지로 하고,  $p^k$ 의 사이즈를 100-비트 간격으로 100-비트 부터 400-비트까지 고려할 경우, [2]에서 제안된 Barreto 방법과의 비교에선  $p \equiv 3 \pmod{4}$ 인 경우 최소 26% 이상의 효율성 향상이 있었고, 특별히,  $k=3$ 인 경우에는 평균 45%의 효율성 증대가 있었다. 그리고, [7]에서 제안된 Kong의 알고리즘과의 비교에선  $p \equiv 9 \pmod{16}$  조건에서 최소 40% 이상의 효율성 향상이 있었고, 특별

히,  $k=3$ 인 경우에는 평균 60%의 효율성 증대가 있었다.

## II. 제곱근을 구하는 알고리즘들

본 절에서는 기존에 제안된 제곱근을 구하는 알고리즘에 대해서 살펴보고자 한다. 각 알고리즘들은 확장체  $F_q$ 에서 제곱근을 구하는 것을 목적으로 기술되었으며, 표수  $p$ 의 조건에 관계 없이 일반적으로 제곱근을 구하는 방법부터  $p$ 의 조건에 따라서 효율적으로 구하는 방법까지 총 4가지를 소개한다.

### 2.1 배경지식

본 논문에서 자주 사용되는 기호 및 용어들을 정리 하자.

- $F_q$  : 위수  $q$ 을 가지는 유한 확장체(finite extension field)로, 본 논문에서는 2가 아닌 소수  $p$ 과 홀수 정수  $k$ 에 대해  $q=p^k$ 로 정의한다. 여기서, 소수  $p$ 은 확장체  $F_q$ 의 표수 (characteristic)라고 한다.
- $M_{F_q}$ 은 확장체  $F_q$ 에서 곱셈에 필요한 연산량을 나타낸다. 즉,  $a, b \in F_q$ 에서  $a * b$ 을 계산하는데 필요한 연산량을  $M_{F_q}$ 로 정의한다.
- $\left(\frac{a}{q}\right)$  :  $a$  in  $F_q$ 에 대한 quadratic residue test의 결과를 나타낸다.  $a$ 이  $F_q$ 에서 제곱근을 가지면  $\left(\frac{a}{q}\right) = 1$  이고, 그렇지 않으면  $\left(\frac{a}{q}\right) = -1$ 이다.

$F_q$ 은  $F_p$  위에서  $k$  차 확장체 ( $k$  extension field)라고 불리우고,  $F_q$ 은  $F_p$  위에서  $k$  차원 벡터 공간으로 생각될 수 있다. 이해를 쉽게 하기 위해, 앞으로  $F_q$ 와  $F_p$ 을 간단히 각각 확장체와 유한체로 부른다. 만일  $\{\beta_0, \beta_1, \dots, \beta_{k-1}\}$ 이  $F_p$  위에서  $F_q$ 의 기저이면, 원소  $a \in F_q$ 은  $a = \sum_{j=0}^{k-1} a_j \beta_j = (a_0, a_1, \dots, a_{k-1})$ ,  $a_j \in F_p$ ,  $0 \leq j \leq k-1$  같이 기저를 이용하여 유일하게 표현 될 수 있다.

유한체  $F_p$  위에서 정의된  $k$  차의 기약다항식  $f(x)$ 에 대해  $\beta$  이 기약다항식  $f(x)$ 의 한 근일 때,  $k$  개의 원소를 갖는  $\{\beta, \beta^p, \dots, \beta^{p^{k-1}}\}$  집합을 우리는  $F_p$  위에서  $F_q$ 의 “정규기저(Normal Basis)” 라고 부른다. 정규기저를 이용하여 확장체의 원소를 표현할 경우 다음과 같은 장점을 활용할 수 있다.

Theorem 1. ([10]) 정규기저  $(a_0, a_1, \dots, a_{k-1})$ 로 표현된  $F_q$ 의 원소  $a$ 에 대해서,  $a^{p^m}$ 은  $a$ 의  $k$ 개 계수에 대한  $m$  cyclic shift로 표현 가능하다. 즉,

$$a^{p^m} = (a_{k-m}, a_{k-m+1}, \dots, a_{k-1}, a_0, a_1, \dots, a_{k-m-2}, a_{k-m-1}).$$

Theorem 1에서 언급한 정규기저의 특성을 활용하면,  $s$ 가 표수  $p$ 의 지수승으로 표현될 경우(즉, 적당한 양의 정수  $c$ 로  $s = p^c$ )  $a \in F_q$ 와  $e = 1 + s + \dots + s^{n-1}$ 에 대해  $a^e$  지수승은 다음과 같이 효율적으로 계산되어 질 수 있다.

$$a^e = \begin{cases} a^{1+s+\dots+s^{n-1}} \cdot (a^{1+s+\dots+s^{n-1}})^s & n = 2t \text{인 경우,} \\ ((a^{1+s+\dots+s^{n-1}}) \cdot (a^{1+s+\dots+s^{n-1}})^s)^s \cdot a & n = 2t+1 \text{인 경우.} \end{cases}$$

이와 같은 과정을 반복적으로 수행 할 경우,  $a^e$  지수승은  $\lfloor \log_2(n) \rfloor + HW(n) - 1$ 번의 확장체  $F_q$  원소의 곱셈으로 계산되어 진다. 여기서,  $HW(n)$ 은  $n$ 의 이진수 표현에서 1의 개수 (Hamming weight)을 의미한다. 이 방법은 Itoh-Tsujii에 의해서 제안된 역원계산 알고리즘에 사용된 기법을 변형한 것이다 [5].

Theorem 2 ([2,5])  $a \in F_q$ . 적당한 정수  $c$  대해  $s = p^c$ 로 두자. 그러면,  $a^{1+s+\dots+s^{n-1}}$  계산에 필요한 연산량은 최대  $\lfloor \log_2(n) \rfloor + HW(n) - 1 \cdot M_{F_q}$ .

### 2.2 Tonelli-Shanks 알고리즘

Tonelli-Shanks 알고리즘은 유한체  $F_p$ 에서 제곱근을 구하는 것으로, 표수  $p$ 의 조건에 의존하지 않고, 만약  $a$ 이  $F_p$ 에서 제곱근을 가지면 Tonelli-Shanks 알고리즘은  $x^2 \equiv a \pmod{p}$ 의 근인  $x$ 을 찾는다. 다음에 기술되는 Tonelli-Shanks 알고리즘은 논문 [12]을 기반으로 확장체  $F_q$ 에서 제곱근을 구하는 것으로 변형된 것이다.

[11] 논문에서 Algorithm 1의 연산량이 잘 정리되어 있다. 만약 고정된 확장체  $F_q$ 에서 제곱근을 구하는 환경인 경우, Algorithm 1에서 단계 1과 2의 결과값  $u, s$ , 그리고  $t$ 은  $a$ 과 함께 입력값으로 처리 가능하다. 단계 3과 While 루프에서 필요로 하는 연산량은 다음과 같다. 참고로, 단계 3은 2번의 지수승과 2번의 곱셈 연산으로 이루어져 있다.

Algorithm 1. Tonelli-Shanks 알고리즘

---

Input :  $\left(\frac{a}{q}\right) = 1$  를 만족하는  $a \in F_q$   
Output :  $x^2 = a$  를 만족하는  $x$

---

1.  $\left(\frac{u}{q}\right) = -1$  를 만족하는 랜덤한  $u \in F_q$  선택
2. 홀수  $t$  에 대해,  $q-1 = 2^s \cdot t$  를 만족하는  $s$  찾기
3.  $v \leftarrow s$ ,  $z \leftarrow u^t$ ,  $w \leftarrow a^{\frac{t-1}{2}}$ ,  $x \leftarrow a \cdot w$ , and  $b \leftarrow x \cdot w$ .
4. **While**  $b \neq 1$  **do**
5.  $b^{2^m} = 1$  를 만족하는 가장 작은 양의 정수  $m$  찾기
6.  $w \leftarrow z^{2^{m-1}}$ ,  $z \leftarrow w^2$ ,  $b \leftarrow b \cdot z$ ,  $x \leftarrow x \cdot w$ ,  $v \leftarrow m$
7. **end while**
8. **Return**  $x$

---

- 단계 3: 평균  $[3 \lfloor \log_2(q) \rfloor - 3s + 1] \cdot M_{F_q}$  (6절 참조, [11]).

- **While** 루프: 평균  $[(s^2 + 7s - 12)/4 + 1/(2^{s-1})] \cdot M_{F_q}$  (Lemma 1 참조, [11]).

**While** 루프의 연산량의 경우,  $q$ 가  $2^s \cdot t + 1$ 의 형태로 표현된 경우에 대한 평균값이다. 따라서 단계 1과 2를 제외한 Algorithm 1에서 필요로 하는 전체 연산량은 다음과 같다.

$$\left[ \frac{(s^2 - 5s - 8)}{4} + 3 \lfloor \log_2(q) \rfloor + \frac{1}{2^{s-1}} \right] \cdot M_{F_q}. \quad (1)$$

### 2.3 Finding Square Roots when $p \equiv 3 \pmod{4}$

본 절은 표수가  $p \equiv 3 \pmod{4}$ 을 만족할 경우, 효율적으로 제곱근을 구하는 알고리즘을 소개한다.  $p \equiv 3 \pmod{4}$ 와  $k$ 이 홀수라는 조건으로부터  $p \equiv 3 \pmod{4}$ 이 쉽게 얻어지고,  $q \equiv 3 \pmod{4}$ 으로 부터 Algorithm 1의 단계 2의  $s$  값과 단계 3의  $b$ 의 값이 모두 1이 된다. 따라서 단계 4 이하의 **While** 루프를 거치지 않고, 단계 3에서의  $x := a^{\frac{t+1}{2}}$ 이 원하는  $a$ 의 제곱근이 된다. 즉,  $p$ 이 위의 조건을 만족할 경우, 제곱근을 구하는 Algorithm 1은 단 한번의 지수승으로 단순화 되어질 수 있다.

square-and-multiply algorithm을 이용해 지수승  $a^{(q+1)/4}$ 을 계산할 경우, 전체 연산량은  $\lfloor \log_2(q+1)/4 \rfloor + HW((q+1)/4 - 1) \cdot M_{F_q}$ 이다.

$$\lfloor \log_2(q+1)/4 \rfloor \approx \lfloor \log_2(q) \rfloor - 2,$$

$HW(q+1)/4 \approx (\lfloor \log_2(q) \rfloor - 1)/2$ 로부터 Algorithm

Algorithm 2. Tonelli-Shanks 알고리즘  
( $p \equiv 3 \pmod{4}$ )를 만족할 경우

---

Input :  $\left(\frac{a}{q}\right) = 1$  를 만족하는  $a \in F_q$   
Output :  $x^2 = a$  를 만족하는  $x$

---

1.  $x \leftarrow a^{\frac{q+1}{4}}$
2. **Return**  $x$

---

2에서 필요로 하는 전체 연산량은 평균 다음과 같다.

$$\left[ \frac{3}{2} \lfloor \log_2(q) \rfloor - \frac{7}{2} \right] \cdot M_{F_q}. \quad (2)$$

### 2.4 Atkin Algorithm when $p \equiv 5 \pmod{8}$

앞서 소개된 알고리즘과 유사하게  $p \equiv 5 \pmod{8}$ 의 경우도 Algorithm 1보다 단순하게 제곱근을 구할 수 있다. 1992년 Atkin [1]에 의해서 제안되었으며, 2가  $F_q$ 에서 제곱근을 가지지 않는다는 것을 활용하였다. 필요한 연산량은 확장체  $F_q$ 에서 한번의 지수승과 4번의 곱셈량이 필요하다.

Algorithm 3. Atkin 알고리즘 ( $p \equiv 5 \pmod{8}$ )

---

Input :  $\left(\frac{a}{q}\right) = 1$  를 만족하는  $a \in F_q$   
Output :  $x^2 = a$  를 만족하는  $x$

---

1.  $b \leftarrow (2a)^{\frac{q-5}{8}}$
2.  $i \leftarrow 2ab^2$
3.  $x \leftarrow ab(i-1)$
4. **Return**  $x$

---

Algorithm 3에서 필요로 하는 전체 연산량은 평균 다음과 같다.

$$\left[ \frac{3}{2} \lfloor \log_2(q) \rfloor - 1 \right] \cdot M_{F_q}. \quad (3)$$

### 2.5 Modified Atkin Algorithm when $p \equiv 9 \pmod{16}$

지금까지 살펴 본 것처럼,  $p \equiv 3 \pmod{4}$ 와  $p \equiv 5 \pmod{8}$ 의 경우는 Algorithm 1보다 간단하게 제곱근을 계산할 수 있었다. 하지만,  $p \equiv 1 \pmod{8}$ 의 경우는 Algorithm 1을 활용하던지, 아니면 Cipolla-Lehmer

[4]를 활용해야 해서 앞의 경우들 보다 훨씬 연산량이 많이 필요로 한다. 최근  $p \equiv 1 \pmod{8}$ 을 만족하는  $p$ 의 경우의 반에 해당하는  $p \equiv 9 \pmod{16}$ 의 경우에 제공근을 기존 방법들 보다 효율적으로 계산하는 방법들이 제안되었다. 먼저, Muller 에 의해서 두번의 지수승으로 제공근을 구하는 방법이 제안되었고 [9], Muller의 알고리즘을 향상시키는 방법이 2006년 Kong 등에 의해서 제안되었다[7]. 본 논문에서는 [7]에 제안된 알고리즘을 소개한다.

Algorithm 4. 향상된 Atkin 알고리즘( $p \equiv 9 \pmod{16}$ )

---

Input :  $\left(\frac{a}{q}\right) = 1$ 를 만족하는  $a \in F_q$   
 Output :  $x^2 = a$ 를 만족하는  $x$

---

1.  $b \leftarrow (2a)^{\frac{q-9}{16}}$
2.  $i \leftarrow 2ab^2$
3.  $r \leftarrow i^2$
4. If  $r = -1$  then  $x \leftarrow ab(i-1)$
5. Else
  - 5.1  $\left(\frac{d}{q}\right) = -1$ 를 만족하는 랜덤수  $d$ 를 선택
  - 5.2  $u \leftarrow bd^{\frac{q-9}{8}}$
  - 5.3  $i \leftarrow 2u^2d^2a$
  - 5.4  $x \leftarrow uda(i-1)$

---

8. Return  $x$

---

Kong 등에 의해 제안된 Algorithm 4를 좀더 자세하게 살펴보면, 단계 3의  $r$ 은  $r^2 = 1$ 을 만족하는 값이므로, 단계 5이하로 넘어갈 확률은 1/2이 된다. 따라서, 평균적으로 1.5번 (단계 1에서 한번, 단계 5.2에서 1/2번)의 지수승 연산이 필요로 하게 된다.

Algorithm 4에서 필요로 하는 전체 연산량은 평균

$$\frac{9}{4} \lceil \log_2(q) \rceil \cdot M_{F_q}. \tag{4}$$

(단계 5.1의  $d$ 을 선택하는 부분은  $q$ 이 고정된 환경에서는 사전에 계산하여 입력값으로 처리 가능함으로 이 부분의 연산량은 생략하였다.)

### III. 향상된 제공근을 구하는 알고리즘들

#### 3.1 중심 되는 Idea

확장체  $F_q$ 에서 제공근을 구하는 알고리즘을 4가지

로 살펴 보았다. 표수  $p$ 의 조건에 따라서

- $p \equiv 1 \pmod{16}$ 인 경우: Algorithm 1 활용,
- $p \equiv 3 \pmod{4}$ 인 경우: Algorithm 2 활용,
- $p \equiv 5 \pmod{8}$ 인 경우: Algorithm 3 활용,
- $p \equiv 9 \pmod{16}$ 인 경우: Algorithm 4 활용하여 제공근을 구할 수 있다.

각 알고리즘들에서 가장 많은 연산량을 요구하는 부분은 공통적으로 확장체  $F_q$ 에서의 지수승 부분이다.

예를 들어, Algorithm 1에서는 단계 3에서  $u^t$  와  $a^{\frac{t-1}{2}}$ 이고, Algorithm 2에서는 단계 1에서  $a^{\frac{q+1}{4}}$  계산 부분이다. 즉, 제공근을 구하는 알고리즘을 효율적으로 계산하기 위해서는 지수승 부분의 연산을 효율적으로 계산하는 것이 우선적인 과제이다. 본 논문에서는 각 알고리즘들에 필요로 하는 지수승에 사용되어지는 지수들의 특성을 분석하여 공통적으로 만족되어지는 조건을 유도하고, 얻어진 조건들을 활용해 지수의 새로운 표현법을 제안하고자 한다. 앞서, 간단한 정리와 정리를 살펴본다.

**Theorem 3. [Euler 정리]** 만약 양의 정수  $m$ 과  $a$ 이 서로소이면 (즉,  $\gcd(m, a) = 1$ ),  $a^{\phi(m)} \equiv 1 \pmod{m}$ 을 만족한다.

여기서, Euler 함수  $\phi(m)$ 은  $m$ 보다 작은 양의 정수들 중에서  $m$ 과 서로소가 되는 정수들의 개수를 의미한다.

**Definition 1.**  $a$ 와  $m$ 은 서로소가 되는 양의 정수라고 하자. 그러면, Theorem 3에 의해서  $a^x \equiv 1 \pmod{m}$ 을 만족하는  $x$ 이 존재한다. 이런  $x$ 들 중에서 가장 작은 정수를 법 (modulo)  $m$ 에 대한  $a$ 의 위수 (order)라고 부른다. 간단하게 이것을  $ord_m(a)$ 라고 표현한다.

위의 정리와 제공근 구하는 알고리즘들에 사용되어지는 지수들의 조건들을 이용하여 지금부터 지수들의 새로운 표현법을 제안하고자 한다.

**Assumptions:** 주어진 소수  $p$ 과 양의 정수  $\alpha, \beta, m$ 에 대해서 다음의 조건 4개를 만족한다.

1.  $p \equiv \alpha \pmod{\beta}$ ,
2.  $\beta$ 가  $p^m - \alpha$ 를 나눈다.

3.  $\beta$ 가  $p^{m-1}-1$ 를 나눈다,
4.  $\gcd(p, \beta) = 1$ .

**Proposition 1.** 위의 4개의 조건을 모두 만족시키는  $p, \alpha, \beta, m$ 에 대해,  $\frac{p^m - \alpha}{\beta}$ 은 다음과 같이 표현되어진다.

$$\frac{p^m - \alpha}{\beta} = A + B \sum_{i=0}^{l-1} (p^w)^i, \quad (5)$$

여기서,  $A = \frac{p - \alpha}{\beta}$ ,  $B = p \cdot \frac{p^w - 1}{\beta}$ ,  $w = \text{ord}_\beta(p)$ ,  
 $l = \frac{m-1}{w}$  이고,  $A, B, l$ 은 정수이다.

**증명.**

$w = \text{ord}_\beta(p)$  와 세번째 조건  $\beta \mid (p^{m-1}-1)$ 로 부터  $w \mid (m-1)$ 을 만족한다.  $w \mid (m-1)$  조건으로  $l$ 을  $l = (m-1)/w$ 로 둔다. 그러면,

$$\begin{aligned} \frac{p^m - \alpha}{\beta} &= p \cdot \left[ \frac{p^{m-1}-1}{\beta} \right] + \frac{p - \alpha}{\beta} \\ &= p \cdot \left[ \left( \frac{p^w - 1}{\beta} \right) \cdot \sum_{i=0}^{l-1} (p^w)^i \right] + \frac{p - \alpha}{\beta} \end{aligned}$$

여기서, 두 번째 등호 부분은  $p^{m-1}-1 = (p^w)^l - 1 = (p^w-1)(1+p^w+\dots+(p^w)^{l-1})$  로부터 유도된 것이다. 조건과 증명으로 부터  $A, B, l$ 이 정수라는 것은 명확하다.

**Corollary 1.** 만약 위의 가정에서,  $\alpha = 1$ 일 경우,

$$\frac{p^m - 1}{\beta} = \frac{p-1}{\beta} \cdot \sum_{i=0}^{m-1} p^i. \quad (6)$$

다음 절들에서는 앞에서 언급한 제곱근을 구하는 알고리즘들에 사용되어지는 지수승의 지수들이 **Proposition 1**의 조건 4개를 모두 만족함을 보이고, 식 (5)을 만족하는 명확한 값들을 제시한다. 그리고, 새로운 지수의 표현을 활용한 지수승 연산의 효율성을 언급한다.

### 3.2 향상된 Tonelli-Shanks 알고리즘

본 절에서는 **Algorithm 1**의 단계 3에서 계산되는 지수승  $u^t$ 와  $a^{(t-1)/2}$ 의 지수  $t$ 와  $(t-1)/2$ 이 **Proposition 1**에 적용됨을 보이고, **Proposition 1**의 결과를 활용해

효율적으로 지수승을 하는 방법을 제안한다.

**Lemma 1.** 홀수  $k$ 에 대해  $q = p^k$ 을 만족하는 두 수  $q, p$ 을  $q = 2^s \cdot t + 1$  과  $p = 2^{s_1} \cdot t_1 + 1$  같이 표현했을 경우,  $s = s_1$ 을 만족한다. 여기서,  $t, t_1$ 은 홀수이다

**증명.**

$$\begin{aligned} q-1 &= p^k - 1 \\ &= (2^{s_1} t_1 + 1)^k - 1 \\ &= (2^{s_1} t_1) \cdot p^{k-1} + (2^{s_1} t_1) \cdot p^{k-2} + \dots + (2^{s_1} t_1) \cdot p + (2^{s_1} t_1) \end{aligned}$$

여기서,  $t_1, k$ , 그리고  $p$ 가 모두 홀수이므로,  $(t_1 \cdot p^{k-1} + t_1 \cdot p^{k-2} + \dots + t_1 \cdot p + t_1)$ 도 홀수이다. 따라서,  $s_1 = s$ .

**Algorithm 1**의 단계 2에서  $q = 2^s \cdot t + 1$ 로 표현된다고 가정하면, **Lemma 1**에 의해 소수  $p$ 도 적당한 홀수  $x$ 에 대해  $p = 2^s \cdot x + 1$ 로 표현된다.

#### 3.2.1 지수승 $u^t$ 에서 지수 $t$ 의 새로운 표현

$$t = \frac{p^{k-1}}{2^s} \text{이므로 Proposition 1의 기호로 대응시키}$$

면,  $\alpha \leftarrow 1$ ,  $\beta \leftarrow 2^s$ ,  $m \leftarrow k$  이다. 앞서 살펴본 것처럼, 적당한 홀수  $x$ 에 대해 표수  $p$ 은  $p = 2^s \cdot x + 1$ 의 표현이므로 **Proposition 1**의 조건 1은 만족된다. 조건 2는 당연하고, 조건 3은  $p$ 이  $2^s \cdot x + 1$ 로 표현된다는 것으로 부터 쉽게 유도된다. 그리고, 조건 4는  $p$ 이 홀수 소수라는 조건으로부터 당연하다. 따라서, 지수  $t$ 의 경우  $\alpha = 1$  이면서 조건 4개를 모두 만족하므로, **Corollary 1**의 식 (6)에 적용하면,

$$t = \frac{p^{k-1}}{2^s} = x \cdot \sum_{i=0}^{k-1} p^i. \quad (7)$$

따라서,  $u^t$  지수승 계산은 다음과 같이 두 단계로 계산되어 질 수 있다.

1.  $z_1 \leftarrow u^x$
2.  $z_2 \leftarrow (z_1)^{\sum_{i=0}^{k-1} p^i}$

$u^t$ 을 계산하는데 필요한 연산량  $z_1$ 와  $z_2$ 은 각각  $\lfloor \log_2(x) \rfloor - 1 + HW(x)$ 와  $\lfloor \log_2(k) \rfloor + HW(k) - 1$  곱

셈이 요구된다. 여기서, 랜덤한 홀수 정수  $v$ 에 대해서 평균적으로  $HW(v) = 3/2 + \frac{\lfloor \log_2(v) \rfloor}{2}$  이 된다. 왜냐하면, 최상위 비트와 최하위 비트가 모두 1이기 때문이다. 따라서,  $u^t$ 을 계산하는데 필요한 확장체  $F_q$ 에서 평균 곱셈량은 다음과 같다. 참고로,  $x$ 과  $k$ 은 모두 홀수이다.

$$\left[ \frac{3}{2} (\lfloor \log_2(x) \rfloor + \lfloor \log_2(k) \rfloor) + 1 \right] \cdot M_{F_q}. \quad (8)$$

### 3.2.2 지수승 $a^{(t-1)/2}$ 에서 지수 $(t-1)/2$ 의 새로운 표현

$(t-1)/2 = \frac{p^k - (2^s + 1)}{2^{s+1}}$  이므로 Proposition 1의 기호로 대응시키면,  $\alpha \leftarrow 1 + 2^s$ ,  $\beta \leftarrow 2^{s+1}$ ,  $m \leftarrow k$ 이다.

**Lemma 2.** 지수  $(t-1)/2$ 은 Proposition 1의 조건 4개를 모두 만족한다.

증명.

조건 2와 4는 명백하게 만족을 하고, 조건 1은  $p = 2^s \cdot x + 1$  와  $\alpha = 1 + 2^s$ 로부터,  $p - \alpha = 2^s(x - 1)$ 이다. 여기서,  $x - 1$ 은 짝수가 되므로,  $2^{s+1} | (p - \alpha)$ 을 만족한다. 조건 3의 경우,  $p^{k-1} - 1 = 2^s(xp^{k-2} + \dots + xp + x)$ 로 표현된다.  $x$ ,  $p$ ,  $k$ 이 모두 홀수이므로  $(xp^{k-2} + \dots + xp + x)$ 이 짝수가 되고, 따라서  $2^{s+1} | (p^{k-1} - 1)$ 을 만족한다.

Proposition 1의 성립 조건 4개를 모두 만족시키므로, 수식 (5)의 명확한 표현 (explicit formulae)을 유도한다.

**Lemma 3.**  $ord_{p^{s+1}}(p)$ 은 2이다.

증명.

홀수  $x$ 에 대해  $p = 2^s \cdot x + 1$ 이므로,  $2^{s+1}$ 은  $p - 1$ 를 나누지 못한다.  $p^2 - 1 = 2^{s+1}(2^{s-1}x^2 + x)$ 로부터,  $2^{s+1} | (p^2 - 1)$ 을 만족한다.

**Collary 2.**  $\frac{t-1}{2}$ 은 다음과 같이 표현되어진다.

$$\frac{t-1}{2} = A + B \sum_{i=0}^{(k-3)/2} (p^2)^i,$$

여기서  $A = \frac{x-1}{2}$ ,  $B = px(2^{s-1}x + 1)$ .

따라서,  $a^{(t-1)/2}$  지수승 계산은 다음과 같이 네 단계로 계산되어 질 수 있다.

1.  $z_1 \leftarrow a^A$ ,
2.  $z_2 \leftarrow a^B$ ,
3.  $z_3 \leftarrow (z_2)^{\sum_{i=0}^{(k-3)/2} (p^2)^i}$ ,
4.  $z_4 \leftarrow z_1 \cdot z_3$ .

$z_1$  과  $z_2$  지수승을 살펴보면, 동일한 밑  $a$ 에 대한 지수승 연산임을 알 수 있다. 즉, 지수  $A$  와  $B$ 에 공통 요소가 있으면 반복되는 연산을 줄일 수 있게 된다. 다음의 식은 지수  $A$ 과 표수  $p$ 을 이용해 지수  $B$ 을 전개한 것이다.

$$B = px(2^{s-1}x + 1) = p \cdot (A \cdot p + \frac{x+1}{2} + 2^{s-1}x). \quad (9)$$

[표 1]은 식 (9)을 이용해 중복되는 연산을 제거하고, 효율적으로  $z_1$  과  $z_2$ 을 계산하는 방법이다.

[표 1] 효율적인  $z_1, z_2$  계산 과정

Input : $a, p, x, s$
Output : $z_1, z_2$
1) $z_1 \leftarrow a^{(x-1)/2}$
2) $y_1 \leftarrow z_1 \cdot a \quad (= a^{(x+1)/2})$
3) $y_2 \leftarrow z_1 \cdot y_1 \quad (= a^x)$
4) $y_2 \leftarrow (y_2)^{2^{s-1}} \quad (= a^{x2^{s-1}})$
5) $y_2 \leftarrow y_1 \cdot y_2 \quad (= a^{(x+1)/2 + x2^{s-1}})$
6) $y_1 \leftarrow z_1^p \quad (= a^{p \cdot (x-1)/2})$
7) $y_1 \leftarrow y_1 \cdot y_2 \quad (= a^{A \cdot p + (x+1)/2 + 2^{s-1}x})$
8) $z_2 \leftarrow y_1^p \quad (= a^B)$

$a^{(t-1)/2}$ 을 계산하는데 필요한 연산량은  $z_1, z_2$ 에  $\frac{3}{2} \lfloor \log_2(x) \rfloor + s + 1$ ,  $z_3$ 에  $\frac{3}{2} \lfloor \log_2(k) \rfloor - 2$ , 그리고,  $z_4$ 에 한번의 곱셈이 요구된다. 따라서 전체 계산량은 평균 다음과 같다.

$$\left[ \frac{3}{2} (\lfloor \log_2(x) \rfloor + \lfloor \log_2(k) \rfloor) + s \right] \cdot M_{F_q}. \quad (10)$$

### 3.2.3 향상된 Tonelli-Shanks 알고리즘의 효율성

향상된 Tonelli-Shanks 알고리즘은 Algorithm 1의 단계 3을 효율적으로 개선한 것이다. 단계 3을 계산하는데 필요한 연산량은 식 (8)과 (10)로부터

$3(\lfloor \log_2(x) \rfloor + \lfloor \log_2(k) \rfloor) + s + 3$  번의 곱셈이다 (단계 3의  $x, b$  계산에 필요한 두 번의 곱셈을 포함). 단계 4 이하의 While 루프 부분은 바뀐 부분이 없기 때문에, 단계 1과 2를 제외한 향상된 Tonelli-Shanks 알고리즘에서 필요로 하는 전체 곱셈량은 평균 다음과 같다.

$$\left[ \frac{1}{4}(s^2 + 11s) + 3(\lfloor \log_2(x) \rfloor + \lfloor \log_2(k) \rfloor) + \frac{1}{2^{s-1}} \right] \cdot M_{F_p}. \quad (11)$$

### 3.3 $p \equiv 3 \pmod{4}$ 조건에서 향상된 Tonelli-Shanks 알고리즘

$p \equiv 3 \pmod{4}$  이므로 적당한 정수  $x$  에 대해  $p = 4x + 3$  으로 표현한다. Algorithm 2의 단계 1의 지수승  $a^{(q+1)/4}$  계산을 Proposition 1을 이용하여 효율적으로 하기 위해  $a^{(q-3)/4}$  계산을 먼저하고, 그 결과에  $a$  을 곱해서 원하는 결과  $a^{(q+1)/4}$  를 얻는 방식을 선택한다. 지금부터 살펴볼 것 될 지수승  $a^{(q-3)/4}$  의 지수  $(q-3)/4$  을 Proposition 1의 기호로 대응시키면,  $\alpha \leftarrow 3, \beta \leftarrow 4, m \leftarrow k$  이다.

Lemma 4. 지수  $(q-3)/4$  은 Proposition 1의 조건 4 개를 모두 만족한다.

Lemma 4의 결과로 부터,  $\text{ord}_4(p) = 2$  이 됨을 알 수 있다. Proposition 1의 결과를 활용한 지수  $(q-3)/4$  의 새로운 표현은 다음과 같다.

Corollary 3.  $\frac{q-3}{4}$  은 다음과 같이 표현되어진다.

$$\frac{q-3}{4} = A + B \sum_{i=0}^{(k-3)/2} (p^2)^i,$$

여기서  $A = x, B = p(4x^2 + 6x + 2)$ .

따라서,  $a^{(q+1)/4}$  지수승 계산은 다음과 같이 다섯 단계로 계산되어 질 수 있다.  $z_1 \leftarrow a^A, z_2 \leftarrow a^B, z_3 \leftarrow (z_2)^{\sum_{i=0}^{(k-3)/2} (p^2)^i}$ ,  $z_4 \leftarrow z_1 \cdot z_3, z_5 \leftarrow z_4 \cdot a$ .  $z_1$  과  $z_2$  지수승을 살펴보면, 동일한 밑  $a$  에 대한 지수승 연산임을 알 수 있다. 즉, 지수  $A$  와  $B$  에 공통 요소가 있으면 반복되는 연산을 줄일 수 있게 된다. 뿐만 아니라,  $B$  의 전개식에서 표수  $p$  이 사용되어 지도록 재전개되어 진다면,  $p$  승은 정규기저에서 cyclic shift로 계산되어 지므로 훨씬 효율적으로 계산할 수 있게 된다. 다음의 식은 지수  $B$  의 새로운 표현법이다.

$$B = p(A \cdot p + (3x + 2)). \quad (12)$$

[표 1]과 유사하게 식 (12)을 이용해 중복되는 연산을 제거하고, 효율적으로  $z_1$  과  $z_2$  을 전개가 가능하다.

[표 2] 효율적인  $z_1, z_2$  계산 과정

---

Input :	$a, p, x, s$
Output :	$z_1, z_2$
1)	$z_1 \leftarrow a^x$
2)	$y_1 \leftarrow z_1 \cdot a \quad (= a^{x+1})$
3)	$y_1 \leftarrow y_1^2 \quad (= a^{2x+2})$
4)	$y_1 \leftarrow y_1 \cdot z_1 \quad (= a^{3x+2})$
5)	$y_2 \leftarrow z_1^p \quad (= a^{xp})$
6)	$y_1 \leftarrow y_1 \cdot y_2 \quad (= a^{xp+(3x+2)})$
7)	$z_2 \leftarrow y_1^p \quad (= a^B)$

---

$a^{(q+1)/4}$  을 계산하는데 필요한 연산량은  $z_1, z_2$  에  $\frac{3}{2} \lfloor \log_2(x) \rfloor + \frac{7}{2}$ ,  $z_3$  에  $\frac{3}{2} \lfloor \log_2(k) \rfloor - 2$ , 그리고  $z_4, z_5$  에 두 번의 곱셈이 요구된다. 따라서 전체 곱셈량은

$$\left[ \frac{3}{2}(\lfloor \log_2(x) \rfloor + \lfloor \log_2(k) \rfloor) + \frac{7}{2} \right] \cdot M_{F_p}. \quad (13)$$

### 3.4 $p \equiv 5 \pmod{8}$ 조건에서 향상된 Atkin 알고리즘

표수  $p$  의 조건이  $p \equiv 5 \pmod{8}$  이므로 적당한 정수  $x$  에 대해  $p = 8x + 5$  로 표현한다. Algorithm 3의 단계 1의 지수승  $(2a)^{(q-5)/8}$  계산에 Proposition 1의 적용 여부를 확인하기 위해 먼저 지수  $(q-5)/8$  을 Proposition 기호로 대응시키면,  $\alpha \leftarrow 5, \beta \leftarrow 8, m \leftarrow k$  이다.

Lemma 5. 지수  $(q-5)/8$  은 Proposition 1의 조건 4 개를 모두 만족한다.

Lemma 5의 결과로 부터,  $\text{ord}_8(p) = 2$  이 됨을 알 수 있다. Proposition 1의 결과를 활용한 지수  $(q-5)/8$  의 새로운 표현은 다음과 같다.

Corollary 4.  $\frac{q-5}{8}$  은 다음과 같이 표현되어진다.

$$\frac{q-5}{8} = A + B \sum_{i=0}^{(k-3)/2} (p^2)^i,$$

여기서  $A = x, B = p(8x^2 + 10x + 3)$ .

따라서,  $(2a)^{(q-5)/8}$  지수승 계산은 다음과 같이 네 단



계로 계산되어 질 수 있다.  $z_1 \leftarrow (2a)^A$ ,  $z_2 \leftarrow (2a)^B$ ,  $z_3 \leftarrow (z_2) \sum_{i=0}^{(k-3)/2} (p^2)^i$ ,  $z_4 \leftarrow z_1 \cdot z_3$ .  $z_1$  과  $z_2$  지수승을 살펴보면, 동일한 밑  $2a$ 에 대한 지수승 연산임을 알 수 있다. 즉, 지수  $A$  와  $B$ 에 공통 요소가 있으면 반복되는 연산을 줄일 수 있게 된다. 뿐만 아니라,  $B$ 의 전개식에서 표수  $p$ 이 사용되어 지도록 재전개되어 진다면,  $p$ 승은 정규 기저에서 cyclic shift로 계산되어 지므로 훨씬 효율적으로 계산할 수 있게 된다. 다음의 식은 지수  $B$ 의 새로운 표현법이다.

$$B = p(A \cdot p + (5x + 3)). \tag{14}$$

앞의 절들과 유사하게 식 (14)을 이용해 중복되는 연산을 제거하고, 효율적으로  $z_1$  과  $z_2$ 의 전개가 가능하다.

[표 3] 효율적인  $z_1, z_2$  계산 과정

Input : $2a, p, x, s$
Output : $z_1, z_2$
1) $z_1 \leftarrow (2a)^x$
2) $y_1 \leftarrow z_1 \cdot (2a) \quad (= (2a)^{x+1})$
3) $y_2 \leftarrow z_1 \cdot y_1 \quad (= (2a)^{2x+1})$
4) $y_2 \leftarrow (y_2)^2 \quad (= (2a)^{4x+2})$
5) $y_2 \leftarrow y_1 \cdot y_2 \quad (= (2a)^{5x+3})$
6) $y_1 \leftarrow z_1^p \quad (= (2a)^{xp})$
7) $y_1 \leftarrow y_1 \cdot y_2 \quad (= (2a)^{xp+5x+3})$
8) $z_2 \leftarrow y_1^p \quad (= (2a)^B)$

$(2a)^{(q-9)/8}$ 을 계산하는데 필요한 연산량은  $z_1, z_2$ 에  $\frac{3}{2} \lfloor \log_2(x) \rfloor + \frac{9}{2}$ ,  $z_3$ 에  $\frac{3}{2} \lfloor \log_2(k) \rfloor - 2$ , 그리고  $z_4$ 에 한번의 곱셈이 요구된다. 따라서 전체 곱셈량의 평균은

$$\left[ \frac{3}{2} (\lfloor \log_2(x) \rfloor + \lfloor \log_2(k) \rfloor) + \frac{15}{2} \right] \cdot M_{F_4}. \tag{15}$$

### 3.5 $p \equiv 9 \pmod{16}$ 조건에서 향상된 Modified Atkin 알고리즘

$p \equiv 9 \pmod{16}$ 이므로 적당한 정수  $x$ 에 대해  $p = 16x + 9$ 으로 표현할 수 있다. Algorithm 4에는 단계 1과 5.2에서 각각 지수승 연산  $(2a)^{(q-9)/16}$ 과  $d^{(q-9)/8}$ 이

필요하다. 본 논문에서는 지수  $(q-9)/16$ 만 Proposition 1의 새로운 지수 표현법을 적용하여 효율적인 지수승 계산 방법을 제안한다.  $d^{(q-9)/8}$ 의 경우,  $(d^{(q-9)/16})^2$ 과 같은 방법으로 계산이 가능하므로, 지수  $(q-9)/16$ 의 효율적인 표현법이 두 번째 지수승에도 적용가능하게 된다. 지수  $(q-9)/16$ 을 Proposition 1의 기호로 대응시키면,  $\alpha \leftarrow 9$ ,  $\beta \leftarrow 16$ ,  $m \leftarrow k$ 이다.

Lemma 6. 지수  $(q-9)/16$ 은 Proposition 1의 조건 4개를 모두 만족한다.

Lemma 6의 결과로부터,  $\text{ord}_{16}(p) = 2$ 이 됨을 알 수 있다. Proposition 1의 결과를 활용한 지수  $(q-9)/16$ 의 새로운 표현은 다음과 같다.

Corollary 5.  $\frac{q-9}{16}$ 은 다음과 같이 표현되어진다.

$$\frac{q-9}{16} = A + B \sum_{i=0}^{(k-3)/2} (p^2)^i,$$

여기서  $A = x$ ,  $B = p(16x^2 + 18x + 5)$ .

따라서,  $(2a)^{(q-9)/16}$  지수승 계산은 다음과 같이 네 단계로 계산되어 질 수 있다.  $z_1 \leftarrow (2a)^A$ ,  $z_2 \leftarrow (2a)^B$ ,  $z_3 \leftarrow (z_2) \sum_{i=0}^{(k-3)/2} (p^2)^i$ ,  $z_4 \leftarrow z_1 \cdot z_3$ .  $z_1$  과  $z_2$  지수승을 살펴보면, 동일한 밑  $2a$ 에 대한 지수승 연산임을 알 수 있다. 즉, 지수  $A$  와  $B$ 에 공통 요소가 있으면 반복되는 연산을 줄일 수 있게 된다. 뿐만 아니라,  $B$ 의 전개식에서 표수  $p$ 이 사용되어 지도록 재전개되어 진다면,  $p$ 승은 정규 기저에서 cyclic shift로 계산되어지므로 훨씬 효율적으로 계산할 수 있게 된다. 다음의 식은 지수  $B$ 의 새로운 표현법이다.

$$B = p(A \cdot p + (9x + 5)). \tag{16}$$

앞의 절들과 유사하게 식 (16)을 이용해 중복되는 연산을 제거하고, 효율적으로  $z_1$  과  $z_2$ 의 전개가 가능하다.

$(2a)^{(q-9)/16}$ 을 계산하는데 필요한 연산량은  $z_1, z_2$ 에  $\frac{3}{2} \lfloor \log_2(x) \rfloor + \frac{11}{2}$ ,  $z_3$ 에  $\frac{3}{2} \lfloor \log_2(k) \rfloor - 2$ , 그리고  $z_4$ 에 한번의 곱셈이 요구된다. 따라서 총  $(\frac{3}{2} (\lfloor \log_2(x) \rfloor + \lfloor \log_2(k) \rfloor) + \frac{9}{2}) \cdot M_{F_4}$ . 2.5절에서 언급했듯이, Algorithm 4의 단계 5 이하는 확률 1/2로 발생한다. 따라서,

[표 4] 효율적인  $z_1, z_2$  계산 과정

---

Input : $2a, p, x, s$
Output : $z_1, z_2$
1) $z_1 \leftarrow (2a)^x$
2) $y_1 \leftarrow z_1 \cdot (2a) \quad (= (2a)^{x+1})$
3) $y_2 \leftarrow z_1 \cdot y_1 \quad (= (2a)^{2x+1})$
4) $y_2 \leftarrow (y_2)^2 \quad (= (2a)^{8x+4})$
5) $y_2 \leftarrow y_1 \cdot y_2 \quad (= (2a)^{9x+5})$
6) $y_1 \leftarrow z_1^p \quad (= (2a)^{xp})$
7) $y_1 \leftarrow y_1 \cdot y_2 \quad (= (2a)^{xp+9x+5})$
8) $z_2 \leftarrow y_1^p \quad (= (2a)^B)$

---

Algorithm 4에서 필요로 하는 전체 연산량은 평균

$$\left\lceil \frac{9}{4} (\lfloor \log_2(x) \rfloor + \lfloor \log_2(k) \rfloor) + \frac{65}{4} \right\rceil \cdot M_{F_q}. \quad (17)$$

#### IV. 기존의 알고리즘들과의 비교

본 절에서는 2 절에서 소개한 제곱근을 구하는 각 알고리즘들을 효율적으로 개선하기 위해 기존에 제안된 방법들을 소개하고, 제안한 알고리즘들과 효율성을 비교한다.

##### 4.1 기존의 알고리즘들

Crypto 2002에서 Barreto 등은 확장체  $F_q$ 에서 표수  $p$ 이  $p \equiv 3 \pmod{4}$  또는  $p \equiv 5 \pmod{8}$ 인 경우 Algorithm 2와 3을 효율적으로 계산하는 방법을 제안했다 [2]. 예를 들어,  $p \equiv 3 \pmod{4}$ 인 경우, Algorithm 2에서의 지수승  $a^{(q+1)/4}$ 의 계산을 위해 지수  $(q+1)/4$ 을 다음과 같이 전개하였다.

$$\frac{q+1}{4} = \frac{p+1}{4} [p(p-1) \sum_{i=0}^{(k-3)/2} (p^2)^i + 1]. \quad (18)$$

식 (18)을 이용해  $a^{(q+1)/4}$ 을 계산하려면, Theorem 2을 이용한 지수승 계산과,  $(p-1)$  과  $(p+1)/4$ 에 대한 지수승 계산, 그리고 한번의 곱셈이 필요하다.  $p$  승 연산은 정규기저를 사용할 경우 cyclic shift로 처리 가능하다. 따라서, 전체 연산량은

$$\left\lceil \frac{3}{2} (2 \cdot \lfloor \log_2(p) \rfloor + \lfloor \log_2(k) \rfloor) - 3 \right\rceil \cdot M_{F_q}. \quad (19)$$

최근, Kong 등에 의해  $p \equiv 9 \pmod{16}$ 인 경우, 즉 Algorithm 4에서 지수승  $(2a)^{(q-9)/16}$  계산을 효율적으로 계산하는 방법이 제안되었다 [7]. Kong 등도 Theorem 2의 특성을 활용하기 위해 지수  $(q-9)/16$ 의 새로운 표현법을 제안하였다.

$$\frac{q-9}{16} = p^{k-1} \cdot \left(\frac{p-9}{16}\right) + 9 \cdot \left(\frac{p^2-1}{16}\right) \cdot \sum_{i=0}^{(k-3)/2} (p^2)^i \quad (20)$$

식 (20)을 이용해  $(2a)^{(q-9)/16}$ 을 계산하려면, Theorem 2을 이용한 지수승 계산과,  $(p-9)/16$  과  $9(p^2-1)/16$ 에 대한 지수승 계산, 그리고 한번의 곱셈이 필요하다.  $p$  승 연산은 정규기저를 사용할 경우 cyclic shift로 처리 가능하다. 따라서,  $(2a)^{(q-9)/16}$ 을 계산하는데 필요한 연산량은

$$\left\lceil \frac{3}{2} (\lfloor \log_2(x) \rfloor + \lfloor \log_2(\frac{9(p^2-1)}{16}) \rfloor) + \lfloor \log_2(k) \rfloor - 2 \right\rceil \cdot M_{F_q}. \quad (21)$$

여기서,  $x = (p-9)/16$ 이다.

Algorithm 4에서 식 (4)을 유도하던 방법과 유사하게 식 (21)을 이용해 Algorithm 4의 전체 연산량을 계산하면

$$\left\lceil \frac{9}{4} (\lfloor \log_2(x) \rfloor + \lfloor \log_2(9(p^2-1)/16) \rfloor) + \lfloor \log_2(k) \rfloor + \frac{13}{2} \right\rceil \cdot M_{F_q}. \quad (22)$$

##### 4.2 $p \equiv 1 \pmod{16}$ 인 경우

확장체  $F_q$ 의 표수가  $p \equiv 1 \pmod{16}$ 을 만족할 경우 제곱근을 가지는  $a \in F_q$ 에 대해  $x^2 = a$ 을 만족하는 제곱근  $x$ 을 구하는 것은 Algorithm 1을 이용해 계산할 수 있다. 지금까지 알려진 바로는, 표수가  $p \equiv 1 \pmod{16}$ 을 만족할 때 Algorithm 1을 효율적으로 개선한 결과는 본 논문에서 제안한 방법이 처음이다. 비록, 3.2 절에서 Algorithm 1을 효율적으로 개선한 방법들은 표수의 조건에 의존하지는 않지만, 표수가  $p \equiv 1 \pmod{16}$ 이 아닌 경우는 더 효율적인 방법들이 존재하기 때문에 본 절에서는 표수의 조건을  $p \equiv 1 \pmod{16}$ 으로 제한한 환경에서 기존 Algorithm 1의 효율성과 본 논문에서

제한한 개선된 알고리즘의 효율성을 비교하고자 한다. [표 5]에서 우리는 확장체  $F_q$ 의 크기와 확장차수 (extension degree)  $k$ 의 크기에 따라 식 (1)와 (11)의 값의 평균값을 비교한다. 홀수 확장차수  $k$ 의 범위를 3에서 15까지로 하고,  $q = p^k$ 의 사이즈를 100-비트 간격으로 100-비트 부터 400-비트까지 고려한다. 여기서, 향상율 (Improvement) 항목은 개선된 알고리즘의 효율성을 나타내는 것으로 기존의 알고리즘보다 어느 정도 효율성이 좋아졌는지를 나타내는 수치이다. 예를 들어, 식 (1)와 (11)의 평균 곱셈량이 각각 A과 B이면 향상율은  $(A-B)/A * 100$ 으로 계산된 값이다. [표 2]에서 알 수 있듯이, 확장체의 크기 및  $k$ 의 값에 관계없이 본 논문에서 제안한 방법이 월등히 효율적임을 알 수 있다. 동일한 확장차수에 대해서는 확장체의 크기가 클수록 효율성이 좋아지는 것으로 확인되었고, 확장체의 크기가 같을 경우에는 확장차수의 크기가 클수록 더 효율적임을 알 수 있다. 확장차수  $k$ 은 홀수로 가정하였기 때문에,  $k = 3$ 인 경우가 가장 작은 효율성 증대를 나타내지만, 이 경우에도 60% 이상의 효율성이 향상되었다.

4.3  $p \equiv 3 \pmod{4}$  또는  $p \equiv 5 \pmod{8}$ 인 경우

표수의 조건이  $p \equiv 3 \pmod{4}$  또는  $p \equiv 5 \pmod{8}$ 의 경우 Algorithm 2와 3을 이용해 계산할 수 있었고, 이 알고리즘들을 좀더 효율적으로 개선한 기존의 방법을

[표 5]  $p \equiv 1 \pmod{16}$ 인 경우의 비교

$q$ 의 크기 (bit)		100	200	300	400
수식 (1) 의 결과		292	593	893	1192
$k = 3$	수식 (11) 결과	104	208	305	404
	향상율 (%)	64.4	65.0	65.8	66.1
$k = 5$	수식 (11) 결과	67	129	188	248
	향상율 (%)	77.0	78.3	78.9	79.2
$k = 7$	수식 (11) 결과	55	95	137	180
	향상율 (%)	81.5	83.9	84.6	84.9
$k = 9$	수식 (11) 결과	44	81	114	148
	향상율 (%)	84.9	86.4	87.3	87.7
$k = 11$	수식 (11) 결과	41	68	95	122
	향상율 (%)	86.3	88.5	89.3	89.7
$k = 13$	수식 (11) 결과	37	61	80	104
	향상율 (%)	87.3	89.8	91.0	91.3
$k = 15$	수식 (11) 결과	32	56	71	92
	향상율 (%)	89.0	90.7	92.1	92.2

4.1 절에서 소개하였다. Algorithm 2와 3의 연산량이 비슷하고, 개선된 방법들의 증가된 효율성의 비율도 비슷해서 본 논문에서는 표수의 조건이  $p \equiv 3 \pmod{4}$ 인 경우만 살펴본다. 식 (19)과 (13)로 부터 표수  $p$ 이 작고 확장차수  $k$ 이 크면 두 식의 값은 거의 비슷한 연산량을 나타낸다. 하지만, [표 6]로부터  $p \equiv 3 \pmod{4}$ 인 경우 최소 26% 이상의 효율성 향상이 나타났고, 특별히,  $k = 3$ 인 경우에서는 평균 45%의 효율성 증대가 있었다. [표 6]의 향상율 항목 (Improvement)은 Barreto 등이 제안한 방법과의 비교 결과를 나타내는 것으로, Barreto 알고리즘이 가지는 연산량(식 (19))과 비교해 제한한 방법의 연산량 식(13)이 어느 정도의 효율성 향상을 가져왔는지 보여준다.

4.4  $p \equiv 9 \pmod{16}$ 인 경우

본 절에서는 표수의 조건이  $p \equiv 9 \pmod{16}$ 인 경우 Algorithm 4과, Kong 등에 의해 이 알고리즘을 좀더

[표 6]  $p \equiv 3 \pmod{4}$ 인 경우의 비교

$q$ 의 크기 (bit)		100	200	300	400
수식 (2) 의 결과		144	294	444	594
$k = 3$	수식 (19) 결과	94	196	295	394
	수식 (13) 결과	50	101	151	200
	향상율 (%)	46.8	48.5	48.8	49.2
$k = 5$	수식 (19) 결과	57	117	177	237
	수식 (13) 결과	32	62	92	122
	향상율 (%)	43.9	47.0	48.0	48.5
$k = 7$	수식 (19) 결과	42	84	126	168
	수식 (13) 결과	25	46	67	88
	향상율 (%)	40.5	45.2	46.8	47.6
$k = 9$	수식 (19) 결과	31	67	100	133
	수식 (13) 결과	20	38	55	71
	향상율 (%)	35.5	43.3	45.0	46.6
$k = 11$	수식 (19) 결과	25	55	82	109
	수식 (13) 결과	17	32	46	59
	향상율 (%)	32.0	41.8	43.9	45.9
$k = 13$	수식 (19) 결과	22	46	67	91
	수식 (13) 결과	16	28	38	50
	향상율 (%)	27.3	39.1	43.3	45.1
$k = 15$	수식 (19) 결과	19	40	58	79
	수식 (13) 결과	14	25	34	44
	향상율 (%)	26.3	37.5	41.4	44.3

효율적으로 개선한 방법(4.1절 참조)과 본 논문에서 제안한 방법과의 효율성 비교를 살펴본다. [표 7]로부터, Kong등에 의해 제안된 알고리즘의 경우 확장차수  $k$ 이 3인 경우는 Algorithm 4의 연산량과 큰 차이가 없음을 알 수 있다. 하지만, 본 논문에서 제안한 방법은  $k$ 이 3인 경우에서 대략 60% 이상의 효율성 개선이 있었고,  $q$ 의 크기가 100 비트 이상의 경우에는  $k$ 의 값에 관계없이 최소 40% 이상의 효율성 증대를 가져왔다.

[표 7]  $p \equiv 9 \pmod{16}$ 인 경우의 비교

$q$ 의 크기 (bit)		100	200	300	400
수식 (4)의 결과		220	445	670	895
$k = 3$	수식 (22) 결과	215	442	667	890
	수식 (17) 결과	81	157	232	306
	향상율 (%)	62.3	64.5	65.2	65.6
$k = 5$	수식 (22) 결과	129	264	399	534
	수식 (17) 결과	54	99	144	189
	향상율 (%)	58.1	62.5	63.9	64.6
$k = 7$	수식 (22) 결과	93	188	285	381
	수식 (17) 결과	43	74	106	137
	향상율 (%)	53.8	60.6	62.8	64.0
$k = 9$	수식 (22) 결과	73	150	224	298
	수식 (17) 결과	36	63	88	112
	향상율 (%)	50.7	58.0	60.7	62.4
$k = 11$	수식 (22) 결과	64	123	183	244
	수식 (17) 결과	33	54	74	94
	향상율 (%)	48.4	56.1	59.6	61.5
$k = 13$	수식 (22) 결과	53	102	154	206
	수식 (17) 결과	28	47	63	81
	향상율 (%)	47.2	53.9	59.1	60.7
$k = 15$	수식 (22) 결과	46	89	132	179
	수식 (17) 결과	26	43	56	72
	향상율 (%)	43.5	51.7	57.6	59.8

### V. 결 론

본 논문에서는  $q = p^k$ ,  $k > 1$ ,  $k$ 는 홀수,  $p$ 는 소수를 만족하는 확장체  $F_q$ 에서 효율적으로 제곱근을 구하는 알고리즘을 제안하였다. 특히,  $p \equiv 1 \pmod{16}$ 인 경우에 활용되는 Tonelli-Shanks 알고리즘을 효율적으로 개선한 것을 본 논문이 처음으로, 60% 이상의 효율성 증대가 있었다. 하지만 본 논문의 제안 기법은 지수  $k$ 가 홀수 일 때만 적용이 가능한 것으로, 앞으로  $k$ 가 짝수

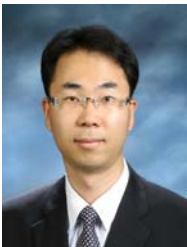
인 경우에 대한 연구를 진행할 예정이다.

### 참고문헌

- [1] A.O.L. Atkin, "Probabilistic primality testing," Summary by F. Morain, INRIA Res. Rep. 1779, pp. 159-163, 1992.
- [2] P.S.L.M. Barreto, H. Kim, B. Lynn, and M. Scott, "Efficient Algorithms for Pairing-Based Cryptosystems," CRYPTO 2002, LNCS 2442, pp. 354-368, 2002.
- [3] P.S.L.M. Barreto and J.F. Voloch, "Efficient Computation of Roots in Finite Fields," Journal of Design, Codes and Cryptography, vol. 39, pp. 275-280, 2006.
- [4] R. Crandall and C. Pomerance, "Prime Numbers," A Computational Perspective, Springer-Verlag, New York, 2001.
- [5] T. Itoh and S. Tsujii, "A fast algorithm for computing multiplicative inverses in  $GF(2^m)$  using normal bases," Information and Computation, vol. 78, pp. 171-177, 1988.
- [6] N. Koblitz, "Elliptic curve cryptosystems," In Mathematics of Computation, volume 48, pp. 203-209, 1987.
- [7] F. Kong, Z. Cai, J. Yu, and D. Li, "Improved generalized Atkin algorithm for computing square roots in finite fields," Information processing Letters, vol. 98 (1), pp. 1-5, 2006.
- [8] V.S. Miller, "Use of elliptic curves in cryptography," In Advances in Cryptology-CRYPTO'85, LNCS 218, pp. 417-426, 1986.
- [9] S. Muller, "On the computation of square roots in finite fields," Journal of Design, Codes and Cryptography, vol. 31, pp. 301-312, 2004.
- [10] R. Lidl and H. Niederreiter, "Finite Field," Encyclopedia of Mathematics and Its Applications, vol. 20, Cambridge University Press, Cambridge, 1997.
- [11] S. Lindhurst, "An analysis of Shanks's algorithm for computing square roots in finite fields," CRM Proceedings and Lecture Notes,

- vol. 19, pp. 231-242, 1999.
- [12] D. Shanks, "Five number-theoretic algorithms," Proceedings of the second Manitoba conference on numerical mathematics, pp.51-70, 1972.
- [13] A. Tonelli, "Bemerkung über die Auflösung quadratischer Congruenzen," Göttinger Nachrichten, pp. 344-346, 1891.
- [14] W. Feng, Y. Nogami, Y. Morikawa, "A fast square root computation using the Frobenius mapping," ICICS 2003, LNCS 2836, pp. 1-10.
- [15] M.K. Lee, H. Kim, D. Hong, K. Chung, "Efficient exponentiation in  $GF(p^m)$  using the Frobenius map," ICCSA 2006 (Part 4), LNCS 3983, pp. 584-593.

< 著 者 紹 介 >



한 동 국 (Dong-Guk Han) 정회원  
 1999년 : 고려대학교 수학과 졸업(학사)  
 2002년 : 고려대학교 수학과 석사 (이학석사)  
 2005년 : 고려대학교 정보보호대학원 박사 (공학박사)  
 2004년 4월~2005년 4월 : 일본 Kyushu Univ., 방문연구원  
 2005년 4월~2006년 4월 : 일본 Future Univ.-Hakodate, Post.Doc.  
 2006년 6월~현재 : 한국전자통신연구원 정보보호연구본부 선임연구원  
 <관심분야> 공개키 암호시스템 안전성 분석 및 고속 구현, 부채널 분석, RFID/USN 정보 보호 기술



최 두 호 (Dooho Choi) 정회원  
 1994년 : 성균관대학교 수학과 졸업(학사)  
 1996년 : 한국과학기술원(KAIST) 수학과 석사(이학석사)  
 2002년 : 한국과학기술원(KAIST) 수학과 박사(이학박사)  
 2002년 1월~현재 : 한국전자통신연구원(ETRI) 정보보호연구본부 선임연구원/팀장  
 <관심분야> RFID/USN 정보보호 기술, 페어링 기반 암호 이론, 암호시스템 안전성 증명, 비가환군 암호 이론



김 호 원 (Ho Won Kim) 종신회원  
 1993년 2월 : 경북대학교 전자공학과 졸업(학사)  
 1995년 2월 : 포항공과대학교 전자전기공학과 석사(공학석사)  
 1999년 2월 : 포항공과대학교 전자전기공학과 박사(공학박사)  
 1998년 12월~2008년 2월 : 한국전자통신연구원(ETRI) 정보보호연구본부 선임연구원/팀장  
 2008년 3월~현재 : 부산대학교 정보컴퓨터공학부 조교수  
 <관심분야> RFID/USN 정보보호 기술, 타원곡선 및 초타원곡선 암호 이론, VLSI 설계, embedded system



임 중 인 (Jongin Lim) 종신회원  
 1980년 2월 : 고려대학교 수학과 학사  
 1982년 2월 : 고려대학교 수학과 석사  
 1986년 2월 : 고려대학교 수학과 박사  
 1999년 2월~현재 : 고려대학교 정보경영공학전문대학원 원장, CIST 센터장  
 <관심분야> 암호이론, 정보보호정책

